

I-17 歩行者の歩行による連續荷の振動性状について

北大	正員	芳 村	仁 泰
開港局	正員	○ 高 松	朗
運輸省	正員	米 沢	

1. まえがき

荷の上をヒトが歩行するときに生ずる振動現象を解析するにあたりて本論文においてはヒトの歩行といふ荷重を、時間的に荷重強度の変化する集中荷重の組み合わせといふモデルとすることによって、実際の実験結果と良好な一致をみる解を得ることができた。

2. ヒトの歩行特性

(1)歩行者の動的荷重とその特性

歩行者を動的荷重として扱う場合は、その歩行周期・歩行速度及び床面にかかる力の状態を考慮しなければならぬ。

歩行周期及び歩行速度については既往の調査結果から¹⁾、平均歩行周期は約0.5秒、平均歩行速度は約1.4m/secであり、どちらもその分布は正規分布をなすことがわかつてあり、また歩行時に床面の垂直方向にかかる力の状態は図-1に示す形であると報告されている。²⁾

(2)歩行者の動的荷重のモデル化

実際に歩行者による振動を解析するために、後述するように室内実験及び数値解析を行ったのであるが、実験においては(1)で述べた歩行周期及び歩行速度を参考にして実験を行い、また、数値解析においては歩行時に床面に垂直方向にかかる力を図-1をヒントに数値計算しやすい矩形パルス(図-2)及びサインパルス(図-3)にあらわし、歩行者の体重を P_0 、1歩幅を x_0 、そしてその歩行周期を t_0 とすると、荷の端から端までの図-4に示すように歩く場合の歩行モデルを矩形パルス、サインパルスそれぞれについて図-5、図-6に表わすような形として考えることにした。尚、床面に作用する横方向の力は考えないことにした。

3. 解析方法

ラグランジエの運動方程式

$$\frac{d}{dt} \left(\frac{\partial T}{\partial \dot{\eta}_r} \right) - \frac{\partial T}{\partial \eta_r} + \frac{\partial U}{\partial \eta_r} + \frac{\partial R}{\partial \eta_r} = N_r \quad (1)$$

ここで、T: 運動エネルギー、U: 重エネルギー、R: 散逸関

数、N_r: 一般力、 η_r : 一般座標

軸上の任意の点x、時刻tにおける荷のたわみを

$$y(x,t) = \sum_{j=1}^{\infty} \text{重} j(x) \eta_j(t) \quad (2)$$

とおく。重j(x): j次モードの振動形

j次モードにおける一般質量、一般力はそれぞれ



図-1

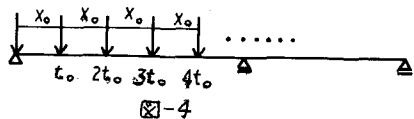
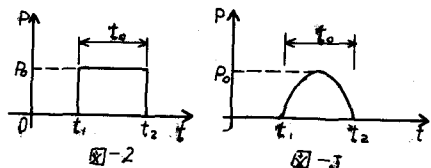


図-4

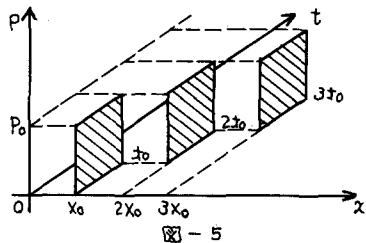


図-5

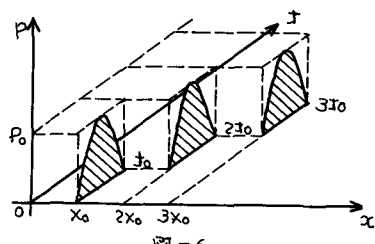


図-6

$$M_j = \int m \bar{\Psi}_j(x)^2 dx \quad \dots \dots \dots (3)$$

$$\bar{\Psi}_j = P_0 \bar{\Gamma}_j = P_0 \Gamma_j f(x) \quad \dots \dots \dots (4)$$

である。m: 柔の単位長あたりの質量

$P(x) = P_0 f(x)$: 時間的に変化する荷重強度
 $\bar{\Gamma}_j$: Participation factor

Participation factor は

$$\bar{\Gamma}_j = \frac{1}{J} \int p(x) \bar{\Psi}_j(x) dx \quad \dots \dots \dots (5)$$

振動の微分方程式

$$\ddot{\Psi}_j + 2\omega_b \dot{\Psi}_j + \omega_b^2 \Psi_j = P_0 \bar{\Gamma}_j f(x) / M_j \quad \dots \dots \dots (6)$$

上式を時間tにについて、ラプラス変換を利用して微分方程式を解くと

$$\bar{\Psi}(x, t) = P_0 \sum_{j=1}^n \frac{\bar{\Gamma}_j}{\omega_b^2 M_j} \bar{\Psi}_j(x) D_j(t) \quad \dots \dots \dots (7)$$

$$D_j(t) = \int_0^t \frac{\omega_b^2}{N_j} e^{-\omega_b(t-\tau)} \sin [\omega_j(t-\tau)] f(\tau) d\tau \quad \dots \dots \dots (8)$$

ここで、 ω_j : 周期円振動数、 ω_b : 減衰定数

$$\omega_j = \sqrt{\omega_b^2 - \omega^2} \quad \dots \dots \dots (9)$$

連續桁を複数スパンのj次のモードは

$$\bar{\Psi}_j(x) = C_{1j} \cos \lambda_j x_1 + C_{2j} \sin \lambda_j x_1 + C_{3j} \cosh \lambda_j x_2 + C_{4j} \sinh \lambda_j x_2 \quad \dots \dots \dots (10)$$

ここで、 $P(x)$ として図-2の矩形パルスを代入する。

$$f(x) = H(t-t_1) - H(t-t_2) \quad \dots \dots \dots (11)$$

$H(t)$ は単位ステップ関数を表す。

$$H(t) = \begin{cases} 0 & (t < 0) \\ 1 & (t > 0) \end{cases} \quad \dots \dots \dots (12)$$

$D_j(t)$ を求める

i) $0 < t < t_1$ のとき

$$D_j(t) = 0 \quad \dots \dots \dots (13)$$

ii) $t_1 < t < t_2$ のとき

$$D_j(t) = 1 - e^{-\omega_b(t-t_1)} \left\{ \cos \omega_j(t-t_1) + \frac{\omega_b}{\omega_j} \sin \omega_j(t-t_1) \right\} \quad \dots \dots \dots (14)$$

iii) $t_2 < t$ のとき

$$D_j(t) = e^{-\omega_b(t-t_2)} \left\{ \cos \omega_j(t-t_2) + \frac{\omega_b}{\omega_j} \sin \omega_j(t-t_2) \right\} - e^{-\omega_b(t-t_1)} \left\{ \cos \omega_j(t-t_1) + \frac{\omega_b}{\omega_j} \sin \omega_j(t-t_1) \right\} \quad \dots \dots \dots (15)$$

図-3のサイクルスを代入すると、

$$f(x) = \{H(t-t_1) - H(t-t_2)\} \sin [(t-t_1)\pi/(t_2-t_1)] \quad \dots \dots \dots (16)$$

$D_j(t)$ は

i) $0 < t < t_1$ のとき

$$D_j(t) = 0 \quad \dots \dots \dots (17)$$

ii) $t_1 < t < t_2$ のとき

$$D_j(t) = -\frac{\omega_b^2}{2\omega_j} \left[\frac{(t_2-t_1)^2}{(t_2-t_1)^2 \omega_b^2 + (\pi - \omega_j(t_2-t_1))^2} \right] \left\{ \omega_b \cos \frac{t-t_1}{t_2-t_1} \pi \right.$$

$$- \omega_b e^{-\omega_b(t-t_1)} \cos \omega_j(t-t_1) + \left(\frac{\pi}{t_2-t_1} - \omega_j \right) \sin \frac{t-t_1}{t_2-t_1} \pi \right\}$$

$$- \frac{(t_2-t_1)}{(t_2-t_1)^2 \omega_b^2 + (\pi + \omega_j(t_2-t_1))^2} \left\{ \omega_b \cos \frac{t-t_1}{t_2-t_1} \pi \right\}$$

$$- \omega_b e^{-\omega_b(t-t_1)} \cos \omega_j(t-t_1) + \left(\frac{\pi}{t_2-t_1} + \omega_j \right) \sin \frac{t-t_1}{t_2-t_1} \pi \right. \\ \left. + \left(\frac{\pi}{t_2-t_1} + \omega_j \right) e^{-\omega_b(t-t_1)} \sin \omega_j(t-t_1) \right\} \quad \dots \dots \dots (18)$$

iii) $t_2 < t$ のとき

$$D_j(t) = -\frac{\omega_b^2}{2\omega_j} \left[\frac{(t_2-t_1)^2}{(t_2-t_1)^2 \omega_b^2 + (\pi - \omega_j(t_2-t_1))^2} \times \right.$$

$$\left. \times \left\{ -\omega_b e^{-\omega_b(t-t_2)} \cos \omega_j(t-t_2) - \omega_b e^{-\omega_b(t-t_2)} \cos \omega_j(t-t_2) \right. \right. \\ \left. \left. - \left(\frac{\pi}{t_2-t_1} - \omega_j \right) e^{-\omega_b(t-t_2)} \sin \omega_j(t-t_2) \right. \right. \\ \left. \left. - \left(\frac{\pi}{t_2-t_1} - \omega_j \right) e^{-\omega_b(t-t_2)} \sin \omega_j(t-t_2) \right. \right. \\ \left. \left. - \frac{(t_2-t_1)^2}{(t_2-t_1)^2 \omega_b^2 + (\pi + \omega_j(t_2-t_1))^2} \left\{ -\omega_b e^{-\omega_b(t-t_2)} \cos \omega_j(t-t_2) \right\} \right. \right. \\ \left. \left. - \omega_b e^{-\omega_b(t-t_2)} \cos \omega_j(t-t_2) \right. \right. \\ \left. \left. + \left(\frac{\pi}{t_2-t_1} + \omega_j \right) e^{-\omega_b(t-t_2)} \sin \omega_j(t-t_2) \right. \right. \\ \left. \left. + \left(\frac{\pi}{t_2-t_1} + \omega_j \right) e^{-\omega_b(t-t_2)} \sin \omega_j(t-t_2) \right\} \right\} \quad \dots \dots \dots (19)$$

それぞれの $D_j(t)$ を(7)式に代入すると変位応答が求まる。

4. 等断面二径間連続析の歩行による振動

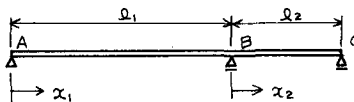


図-7

※1 スパンのj次の振動形

$$\bar{\Psi}_j(x_1) = C_{1j} \cos \lambda_j x_1 + C_{2j} \sin \lambda_j x_1 + C_{3j} \cosh \lambda_j x_1 + C_{4j} \sinh \lambda_j x_1$$

※2 スパンのj次の振動形

$$\bar{\Psi}_j(x_2) = C_{12} \cos \lambda_j x_2 + C_{22} \sin \lambda_j x_2 + C_{32} \cosh \lambda_j x_2 + C_{42} \sinh \lambda_j x_2$$

(1) 術の一般質量

$$M_j = \int m \bar{\Psi}_j^2(x) dx = \int_0^{L_1} m \bar{\Psi}_j^2(x_1) dx_1 + \int_0^{L_2} m \bar{\Psi}_j^2(x_2) dx_2 \\ = m \left[\int_0^{L_1} \bar{\Psi}_j^2(x_1) dx_1 + \int_0^{L_2} \bar{\Psi}_j^2(x_2) dx_2 \right] \quad \dots \dots \dots (20)$$

ここで

$$d_1 = \int_0^{L_1} \bar{\Psi}_j^2(x_1) dx_1 = \int_0^{L_1} \left[C_{1j}^2 \cos^2 \lambda_j x_1 + C_{2j}^2 \sin^2 \lambda_j x_1 + C_{3j}^2 \cosh^2 \lambda_j x_1 + C_{4j}^2 \sinh^2 \lambda_j x_1 \right]$$

$$\begin{aligned}
&= \left(C_{11} \int_0^{\lambda_j} \cos \lambda_j x_i dx_i + (C_{21} \int_0^{\lambda_j} \sin \lambda_j x_i dx_i) + (C_{31} \int_0^{\lambda_j} \cosh \lambda_j x_i dx_i) \right. \\
&\quad + \left(C_{41} \int_0^{\lambda_j} \sinh \lambda_j x_i dx_i + 2 \left[C_{11} C_{21} \int_0^{\lambda_j} \cos \lambda_j x_i \sin \lambda_j x_i dx_i \right. \right. \\
&\quad + C_{11} C_{31} \int_0^{\lambda_j} \cosh \lambda_j x_i \cos \lambda_j x_i dx_i + C_{11} C_{41} \int_0^{\lambda_j} \cosh \lambda_j x_i \sinh \lambda_j x_i dx_i \\
&\quad + C_{21} C_{31} \int_0^{\lambda_j} \sinh \lambda_j x_i \cosh \lambda_j x_i dx_i + C_{21} C_{41} \int_0^{\lambda_j} \sinh \lambda_j x_i \sinh \lambda_j x_i dx_i \\
&\quad \left. \left. + C_{31} C_{41} \int_0^{\lambda_j} \cosh \lambda_j x_i \sinh \lambda_j x_i dx_i \right] \right) \quad (21)
\end{aligned}$$

上式で

$$\begin{aligned}
G_1(j, l_1) &= \int_0^{\lambda_j} \cos^2 \lambda_j x_i dx_i = \{l_1 + \sin 2\lambda_j l_1 / (2\lambda_j)\} / 2 \\
G_2(j, l_1) &= \int_0^{\lambda_j} \sin^2 \lambda_j x_i dx_i = \{l_1 - \sin 2\lambda_j l_1 / (2\lambda_j)\} / 2 \\
G_3(j, l_1) &= \int_0^{\lambda_j} \cosh^2 \lambda_j x_i dx_i = \{\sinh 2\lambda_j l_1 / (2\lambda_j) + l_1\} / 2 \\
G_4(j, l_1) &= \int_0^{\lambda_j} \sinh^2 \lambda_j x_i dx_i = \{\sinh 2\lambda_j l_1 / (2\lambda_j) - l_1\} / 2 \\
G_5(j, l_1) &= \int_0^{\lambda_j} \sin \lambda_j x_i \cos \lambda_j x_i dx_i = -(\cos 2\lambda_j l_1 - 1) / (4\lambda_j) \\
G_6(j, l_1) &= \int_0^{\lambda_j} \cos \lambda_j x_i \sinh \lambda_j x_i dx_i \\
&= (\cos \lambda_j l_1, \sinh \lambda_j l_1, +\sinh \lambda_j l_1 \cosh \lambda_j l_1) / (2\lambda_j) \\
G_7(j, l_1) &= \int_0^{\lambda_j} \cos \lambda_j x_i \sinh \lambda_j x_i dx_i \\
&= (\cos \lambda_j l_1, \cosh \lambda_j l_1, +\sin \lambda_j l_1, \sinh \lambda_j l_1 - 1) / (2\lambda_j) \\
G_8(j, l_1) &= \int_0^{\lambda_j} \sin \lambda_j x_i \cosh \lambda_j x_i dx_i \\
&= (\sin \lambda_j l_1, \sinh \lambda_j l_1, -\cos \lambda_j l_1, \cosh \lambda_j l_1 + 1) / (2\lambda_j) \\
G_9(j, l_1) &= \int_0^{\lambda_j} \sinh \lambda_j x_i \cosh \lambda_j x_i dx_i \\
&= (\cosh \lambda_j l_1, \cosh \lambda_j l_1, -\cos \lambda_j l_1, \sinh \lambda_j l_1) / (2\lambda_j) \\
G_{10}(j, l_1) &= \int_0^{\lambda_j} \sinh \lambda_j x_i \cosh \lambda_j x_i dx_i \\
&= (\cosh \lambda_j l_1, -1) / (4\lambda_j)
\end{aligned}$$

よって

$$\begin{aligned}
d_1 &= (C_{11} \int_0^{\lambda_j} G_1(j, l_1) + (C_{21} \int_0^{\lambda_j} G_2(j, l_1) + (C_{31} \int_0^{\lambda_j} G_3(j, l_1) + (C_{41} \int_0^{\lambda_j} G_4(j, l_1) \\
&\quad + 2 [C_{11} C_{21} \int_0^{\lambda_j} G_5(j, l_1) + C_{11} C_{31} \int_0^{\lambda_j} G_6(j, l_1) + C_{11} C_{41} \int_0^{\lambda_j} G_7(j, l_1) \\
&\quad + C_{21} C_{31} \int_0^{\lambda_j} G_8(j, l_1) + C_{21} C_{41} \int_0^{\lambda_j} G_9(j, l_1) + C_{31} C_{41} \int_0^{\lambda_j} G_{10}(j, l_1)] \quad (22)
\end{aligned}$$

5. 二径間連続桁による実験と計算結果

実際の桁上をヒトが歩いたときの振動性状を知るために室内で実験を行った。歩行者が図-8の桁上を歩行周期2.18秒で歩いたときの変位応答及び加速度応答を図-9に示す。これに対して前述の矩形パルスの歩行モデルで計算して得られた変位応答は図-10に示す通りである。荷重モデルとしてサインパルスの方で計算したときの変位応答は図-11である。加速度応答についてはサインパルスモデルによる変位応答を数値的に2度微分して求めた(図-12)。

なお使用した桁の減衰定数 $\eta b = 0.0031$ 、直角振動周期は、
 $T_1 = 0.196 \text{ sec}$ $T_4 = 0.026 \text{ sec}$
 $T_2 = 0.070 \text{ sec}$ $T_5 = 0.018 \text{ sec}$
 $T_3 = 0.050 \text{ sec}$ $T_6 = 0.014 \text{ sec}$

同様に

$$\begin{aligned}
d_2 &= (C_{12} \int_0^{\lambda_j} G_1(j, l_2) + (C_{22} \int_0^{\lambda_j} G_2(j, l_2) + (C_{32} \int_0^{\lambda_j} G_3(j, l_2) + (C_{42} \int_0^{\lambda_j} G_4(j, l_2) \\
&\quad + 2 [C_{12} C_{22} \int_0^{\lambda_j} G_5(j, l_2) + C_{12} C_{32} \int_0^{\lambda_j} G_6(j, l_2) + C_{12} C_{42} \int_0^{\lambda_j} G_7(j, l_2) \\
&\quad + C_{22} C_{32} \int_0^{\lambda_j} G_8(j, l_2) + C_{22} C_{42} \int_0^{\lambda_j} G_9(j, l_2) + C_{32} C_{42} \int_0^{\lambda_j} G_{10}(j, l_2)] \quad (23)
\end{aligned}$$

よって

$$M = m(\alpha_1 + \alpha_2) \quad (24)$$

(2) 矩形パルス載集中荷重による変位応答

桁上の点Xに図-2に示すP(t)が作用したとき

participation factor P_{ij} は $P_{ij} = p(x_i) \bar{x}_{ij} p(x_i)$

オースパンに P(t) が作用するとき $P_{ij} = \bar{x}_{ij} p(x_i)$

オースパンに P(t) が作用するとき $P_{ij} = \bar{x}_{ij} p(x_i)$

座標は観測点の位置によって

i) オースパン上に観測点があるとき

$$y(x, t) = P_0 \sum_{j=1}^m \frac{P_j}{w_j M_j} \bar{x}_{ij} D_j(t) \quad (25)$$

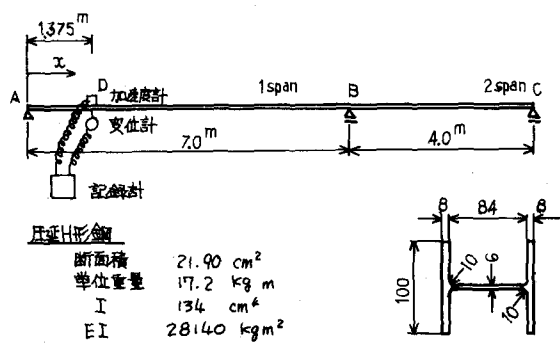
ii) オースパン上に観測点があるとき

$$y(x, t) = P_0 \sum_{j=1}^m \frac{P_j}{w_j M_j} \bar{x}_{ij} D_j(t) \quad (26)$$

上式を図-5のよう組み合わせることによって P(t) として矩形パルスを用いたときの歩行モデルが導出できる。なお、 $D_j(t)$ は(13)~(15)式による。

(3) サインパルス載集中荷重による変位応答

$D_j(t)$ として(17)~(19)式を用いたならば(25),(26)式を用いることができる。



歩行条件

体重	65 kg
歩行周期	0.5 sec or 0.59 sec
歩幅	68.75 cm

図 8



図-9 実験結果(変位及び加速度), $t_0=0.50$

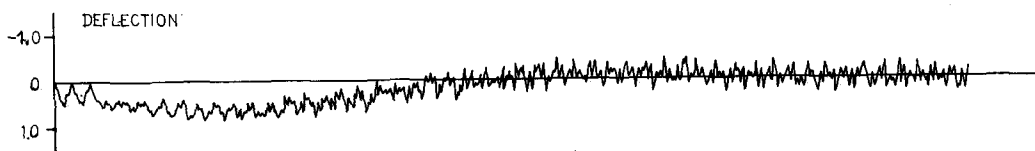


図-10 計算結果(変位応答, 矩形パルスモデル), $t_0=0.50$

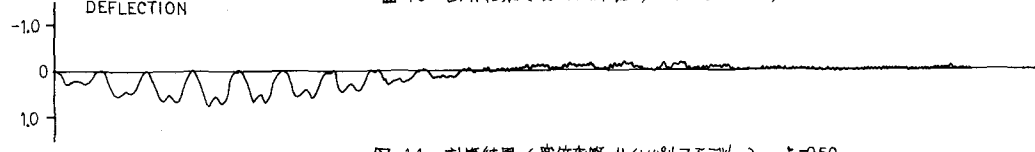


図-11 計算結果(変位応答, サインパルスモデル), $t_0=0.50$

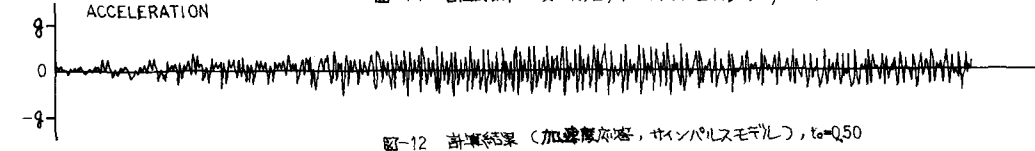


図-12 計算結果(加速度応答, サインパルスモデル), $t_0=0.50$

0 1.0 2.0 3.0 4.0 5.0 6.0 7.0 8.0 9.0 10.0

6. 考察

(1)ヒトの慣性質量の影響について

桁上にヒトの質量が荷ねすることによる振動性状の変化について考察する。ヒトの慣性質量を考慮すると一般に N_j は

$$N_j = \frac{P_0}{l} \int \left\{ 1 - \frac{q}{g}, \frac{\partial^2 g(x,t)}{\partial t^2} \right\} p(x) f(x) \Psi_j(x) dx \quad (27)$$

ここで q はヒトの体重が慣性質量として桁の振動によぼす影響の度合いを示す係数である。

すると、

$$\bar{M}_j = M_j \left(1 + \frac{P_0 q}{M_j g} \Psi_j^2(x) f(x) \right) \quad (28)$$

$$\bar{w}_b = N_b \bar{M}_j / \bar{M}_j \quad] \quad (29)$$

$$\bar{w}_j^2 = N_j^2 \bar{M}_j / \bar{M}_j$$

とおくことにより、振動の微分方程式は

$$\ddot{\eta}_j + 2\bar{w}_b \dot{\eta}_j + \bar{w}_j^2 \eta_j = P_0 \bar{f}(x) / \bar{M}_j \quad (30)$$

これは(6)式と同様に解くことができる。

今、 $q=0.1$ として矩形パルスモデルにより変位応答を計算すると図-13を得る。ヒトの慣性質量の影響は考慮しない方が現実とのよりよい一致をみるところがわかった。



図-13 計算結果(変位応答, 矩形パルスモデル), $t_0=0.50$
慣性質量 10%考慮

0 1.0 2.0 3.0 4.0 5.0 6.0 7.0 8.0 9.0 10.0

(2)歩行周期が桁の風有周期の整数倍になったとき

桁上の点に約1歩目だけの矩形パルス状集中荷重が加わったときの変位応答を調べてみる。今、桁の第1次固有振動周期は $T_1 = 0.196 \text{ sec}$ である。荷重の作用時間が $t_0 = 0.5 \text{ sec}$ のときの変位応答は図-14の通りである。荷重の作用時間を $t_0 = 0.59 \text{ sec}$ とすると変位応答は図-15のようになる。このように差異が見られるこから歩行周期 0.59 sec で歩いたときの実験による変位応答と計算結果を対比した。結果は図-16、図-17に示す通りである。 $t_0 = 0.50 \text{ sec}$ で歩いたときのような計算結果と実験との一致は見られなくなる。

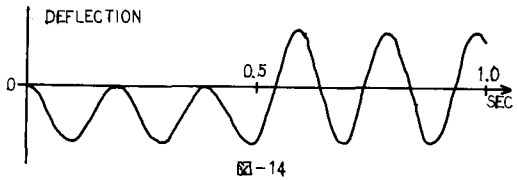
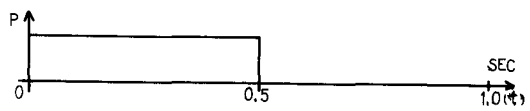


図-14

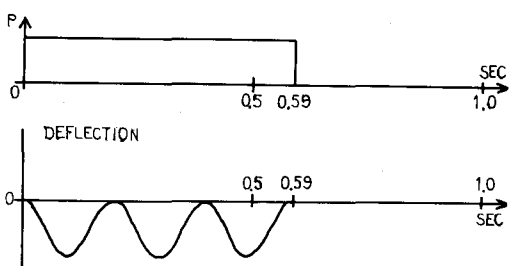


図-15

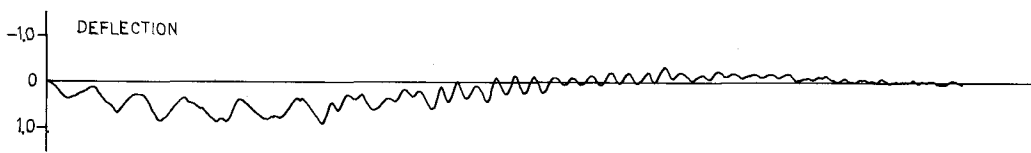


図-16 実験結果(変位応答), $t_0 = 0.50$

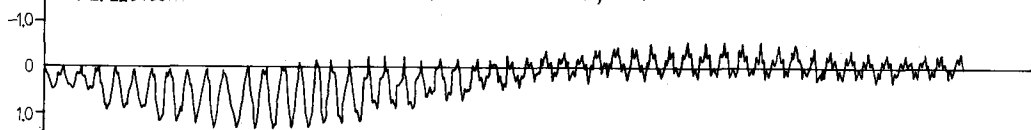
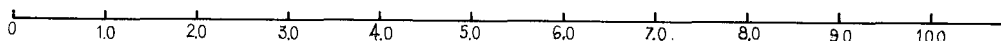


図-17 計算結果(変位応答, 矩形パルスモデル), $t_0 = 0.59$



7. むすび

実験結果と計算結果を比較すると、変位応答は矩形パルスモデル・サインパルスモデルともほぼ現象を説明していいことがわかった。加速度応答についてはサインパルスモデルが近い値が得られた。今後は実際の歩道橋について検討を進める予定である。計算には、北大大型計算機センター FACOM Z30-75 を使用した。最後に北大の基沢助教授、三上助手には御協力いただきこと感謝する。

参考文献

- 1) 桐川・小堀「動的応答から見た歩道橋の使用性に関する確率論的考察」（論文報告集 1977, 10月）
- 2) 小原・内田・宇野「建築・室内・人間工学」（鹿島出版）
- 3) Husty & Rubinstein 「Dynamics of Structures」（Prentice-Hall）